

Aufgabe 1 (Unsicherheitsschranke für gemessene Übertragungsfunktion)

a) Diese Teilaufgabe wurde komplett in Matlab gelöst. Dazu wurde das bereitgestellte m-File (RT2_Ueb5A1.m) vervollständigt.

i) Folgender Code erzeugt die graphische Darstellung (Bode und Nyquist Diagramm) des nominalen Modells und der gemessenen Frequenzantworten:

```
s = tf('s');
P = (2e6*s+2e7)/(s^4+206.7*s^3+3.021e5*s^2+2e6*s+2e7)

figure(1)
bode(P,'k'), hold on

figure(2)
nyquist(P,'k'), hold on

for k = 1:size(M,2)
    P_k = frd(M(:,k).*exp(i*PHI(:,k)),W);
    figure(1)
    bode(P_k,'.b')
    figure(2)
    nyquist(P_k,'.b:')
end
end
```

Die Abbildungen 1 und 2 zeigen die erzeugten Diagramme.

Bemerkungen:

- Nach der Definition von s als Übertragungsfunktion können beliebige Übertragungsfunktionen in einfacher Weise formuliert werden.
 - `size(M,2)` entspricht der Anzahl Messreihen.
 - Für jede Messreihe wird ein System P_k aus dem Amplitudengang und dem Phasengang berechnet. (Beachte die vektorielle Notation, $M(:,k)$ und $PHI(:,k)$, und die elementweise Multiplikation der Vektoren mit `.*`)
- ii) Für die Berechnung des Amplituden- und des Phasenvektors des nominalen Systems wird der Befehl `bode` verwendet.

```
[mag,phase] = bode(P,W);
m(:,1) = mag;
phi(:,1) = pi/180*phase;
```

Bemerkungen:

- Der Befehl `bode` liefert die Phase in Grad.
- iii) Die iterative Berechnung und die anschliessende Darstellung (vergleiche Abbildung 3) der Unsicherheiten erfolgt wie folgt:

```

UNC = [];
for k = 1:size(M,2)
    m_k = M(:,k);
    p_k = PHI(:,k);
    Unc = abs((m_k.*exp(i*p_k))./(m.*exp(i*phi))-1);
    UNC = [UNC,Unc];
end

figure
loglog(W,UNC,'+', 'markersize',5), hold on
xlabel('Frequency (rad/s)')
ylabel('|W_2(j\omega)|')

```

Bemerkungen:

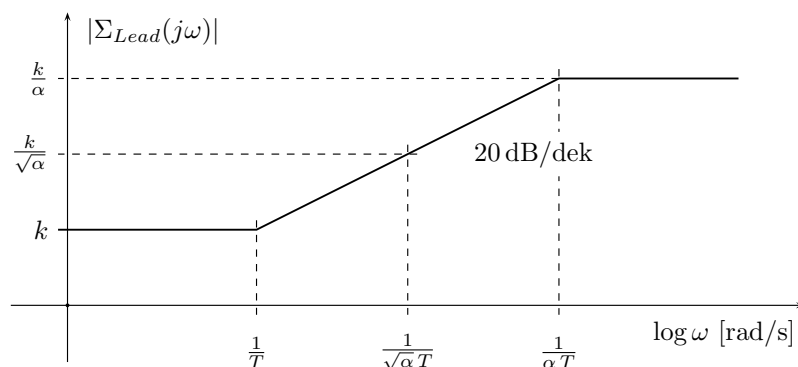
- m_k und p_k bezeichnen die Amplituden- bzw. Phasenvektoren der Messreihen.
 - Unc umfasst den Vektor der Unsicherheiten für eine Messreihe über alle Frequenzen. (Beachte die elementweise Multiplikation und Division der Vektoren mit $.*$ respektive $./$.)
 - In UNC werden alle Unsicherheiten aller Messreihen zusammengefasst. Sie können so in einem Schritt graphisch dargestellt werden.
- iv) Die Schranke für die Unsicherheiten wird iterativ hergeleitet. Am einfachsten beginnt man mit einer konstanten Schranke für die tiefen Frequenzen. Für die vorliegenden Daten wählt man zum Beispiel:

$$W_{2,0} = 0.06. \quad (1)$$

Dies ergibt die gepunktete Linie der Abbildung 3.

Für die Beschreibung des Anstiegs der Unsicherheit bei höheren Frequenzen werden bevorzugt Lead-Elemente eingesetzt,

$$\Sigma_{Lead}(s) = k \cdot \frac{1 + T \cdot s}{1 + \alpha \cdot T \cdot s} \quad 0 < \alpha < 1. \quad (2)$$



Um dem steilen Anstieg der Unsicherheit bei ca. 4 rad/s gerecht zu werden, werden zwei identische Lead-Elemente in Serie geschaltet.

$$W_{2,1}(s) = W_{2,2}(s) = k \cdot \frac{1 + T \cdot s}{1 + \alpha \cdot T \cdot s}. \quad (3)$$

Bei hohen Frequenzen ist die obere Schranke der Unsicherheit etwa um einen Faktor 20 höher als bei tiefen Frequenzen. Wir wählen für den Parameter α der beiden

identischen Lead-Elemente demnach,

$$\left(\frac{k/\alpha}{k}\right) \cdot \left(\frac{k/\alpha}{k}\right) = 20 \quad \Rightarrow \quad \alpha = \frac{1}{\sqrt{20}}. \quad (4)$$

Um die Schranke bei tiefen Frequenzen nicht zu verschieben wählt man $k = 1$. Der Parameter T wird so gewählt, dass die mittlere Frequenz der beiden Elemente beim Anstieg der Unsicherheit (ca. 4 rad/s) zu liegen kommt,

$$\frac{1}{\sqrt{\alpha}T} = 4 \quad \Rightarrow \quad T = \frac{1}{4\sqrt{\alpha}} = \frac{1}{4} \cdot 20^{-1/4}. \quad (5)$$

Aus der Serieschaltung der drei Elemente erhält man schliesslich die folgende Unsicherheitsschranke,

$$W_2(s) = W_{2,0} \cdot W_{2,1}(s) \cdot W_{2,2}(s) \approx \frac{1.2 s^2 + 4.54 s + 4.29}{s^2 + 16.91 s + 71.53}. \quad (6)$$

Der Amplitudengang von $W_2(s)$ ist in der Abbildung 3 also durchgezogene Linie dargestellt. Der Matlab-Code für die Berechnung und die Darstellung der Unsicherheitsschranke lautet wie folgt:

```

k = 0.06;
W2_0 = tf(k);
[mag,phase] = bode(W2_0,W);
mag_W2_0(:,1) = mag;

loglog(W,mag_W2_0,'k:')

gain = 20;
freq = 4;

k = 1;
alpha = 1/sqrt(gain);
T = 1/(freq*sqrt(alpha));
W2_1 = k*(1+T*s)/(1+alpha*T*s);
[mag,phase] = bode(W2_1,W);
mag_W2_1(:,1) = mag;

loglog(W,mag_W2_0.*mag_W2_1,'k-.')

k = 1;
alpha = 1/sqrt(gain);
T = 1/(freq*sqrt(alpha));
W2_2 = k*(1+T*s)/(1+alpha*T*s);
[mag,phase] = bode(W2_2,W);
mag_W2_2(:,1) = mag(1,1,:);

loglog(W,mag_W2_0.*mag_W2_1.*mag_W2_2,'k')

W2 = W2_0*W2_1*W2_2;

```

Bemerkung: Die beschriebene Wahl von $W_2(s)$ ist selbstverständlich nur eine mögliche unter vielen.

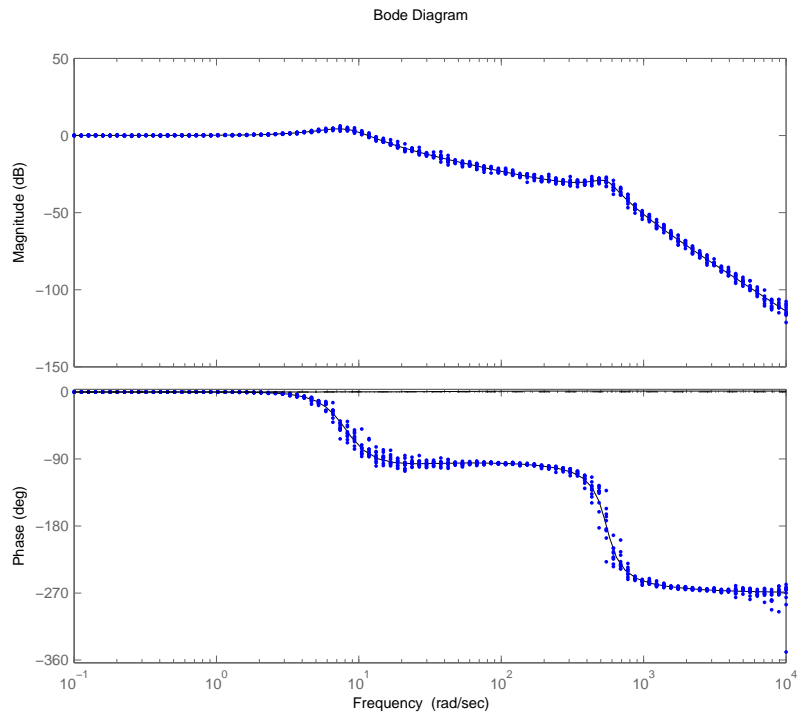


Abbildung 1: Bode Diagramm des nominalen Systems (—) und der Messreihen (●)

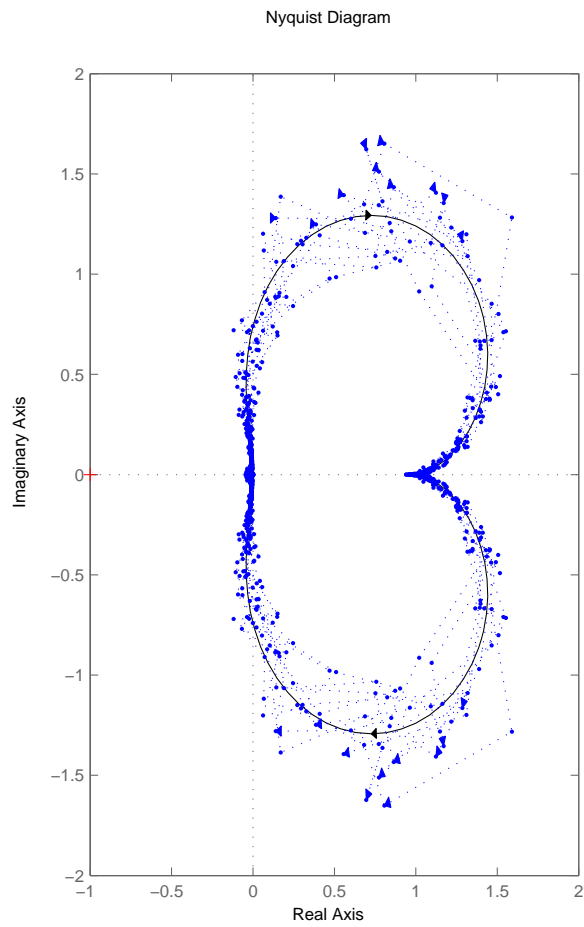


Abbildung 2: Nyquist Diagramm des nominalen Systems (—) und der Messreihen (●)

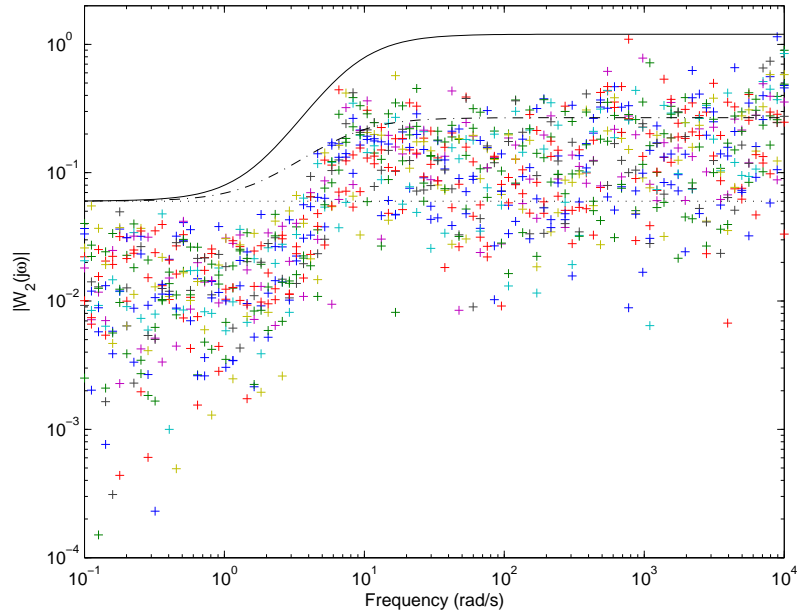


Abbildung 3: Modellunsicherheiten (+) und obere Schranke $W_2(s)$ (-)

b) Mit dem Befehl

```
P_jw = freqresp(P,6)
      1.4410 - 0.5729i
mag_P = abs(P_jw)
      1.5508
```

erhält man den Real- und den Imaginärteil des nominalen Systems bei der Frequenz $\omega_0 = 6$ rad/s.

Der Real- und den Imaginärteil von $W_2(j\omega_0)$ beträgt

```
W2_jw = freqresp(W2,6)
      1.2499 - 0.1307i
mag_W2 = abs(W2_jw)
      = 0.4416
```

Der Bereich

$$\mathcal{S}_{\omega_0} = \{P(j\omega_0) \cdot (1 + \Delta(j\omega_0) \cdot W_2(j\omega_0)) \mid |\Delta(j\omega_0)| \leq 1, \arg\{\Delta(j\omega_0)\} \in [-\pi, \pi]\} \quad (7)$$

entspricht somit in der Nyquist Ebene einer Kreisscheibe um den Punkt

$$P(j\omega_0) \approx 1.44 - j \cdot 0.57, \quad (8)$$

mit Radius

$$|P(j\omega_0)| \cdot |W_2(j\omega_0)| \approx 1.55 \cdot 0.44 = 0.68. \quad (9)$$

Bemerkung: $\mathcal{S}_{j\omega_0}$ entspricht einer Kreisscheibe, da die Phase von $\Delta(j\omega)$ frei ist und für den Betrag von $\Delta(j\omega)$ gilt, $|\Delta(j\omega_0)| \leq 1$.

Aufgabe 2 (Spezifikationen im Frequenzbereich)

Diese Aufgabe wurde komplett in Matlab gelöst.

```
%Definition der Strecke und der Gewichtung
%-----
A = [ 0, 1, 0; 0.7, 0, -100; 0, 0, 0];
B = [ 0; 0; 0.01];
C = [-1, 0, 0];
D = 0;

%System im Zustandsraumdarstellung
P = ss(A,B,C,D);

%Regler
s = tf('s');
K = 100*(s+0.8)*(s+0.5)/(s+10);

%Kreisverstärkung
L = P*K;

%Sensitivität
S = inv(1+L);
w = logspace(-2,2,500);

%Gewichtung W1 für die Sensitivität
W1 = (0.5*s+2)/(s+0.2);
```

a) Die Bedingung für die nominale Regelgüte lautet für alle ω :

$$\|S(s) \cdot W_1(s)\|_{\infty} = |S(j\omega)| \cdot |W_1(j\omega)| < 1$$

```
%S*W1 muss für alle w kleiner als 0dB sein
figure(1)
bodemag(S*W1,tf(1,1),'r--',w)
grid on
xlabel('Frequenz')
ylabel('Amplitude')
legend('S (j\omega)*W_1(j\omega)', '0 dB', 'location', 'SouthEast')
ylim([-30 2])
```

b) Singularwerte der oberen Schranke $W_1^{-1}(s)$ und der Sensitivität $S(s)$.

```
figure(2)
bodemag(S,inv(W1),'r--',w)
grid on
xlabel('Frequenz')
ylabel('Amplitude')
legend('S (j\omega)', 'W_1^{-1}(j\omega)', 'location', 'SouthEast')
```

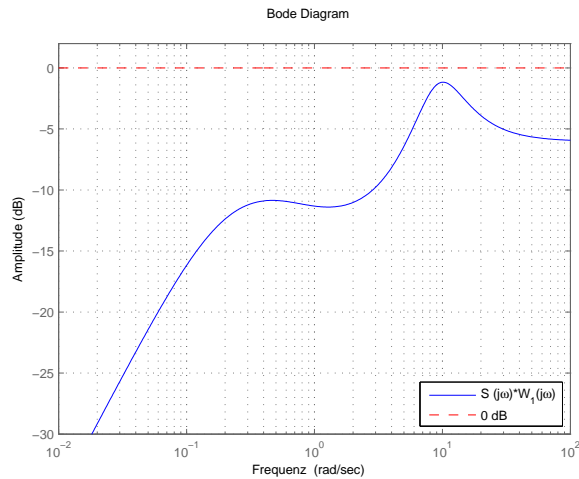


Abbildung 4: Amplitudengang $S(s) \cdot W_1^{-1}(s)$ und 0dB (---)

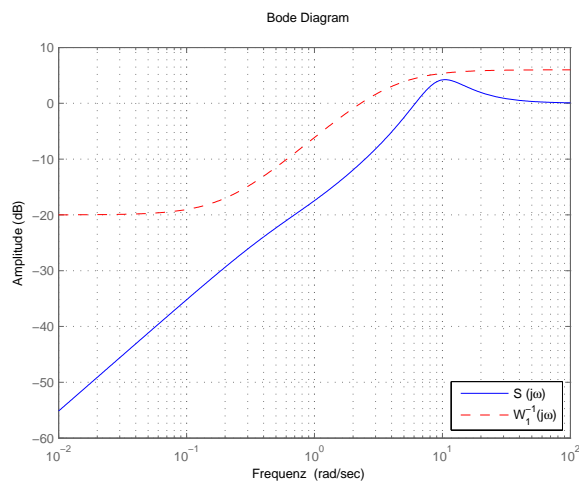


Abbildung 5: Amplitudengang der Sensitivität und der Schranke $W_1^{-1}(s)$

- c) Der Abstand zum Nyquist-Punkt ist der Betrag der Kreisverstärkungsdifferenz $D = 1 + L$, also:

```
%Minimaler Abstand zum Nyquist-Punkt
mu = min(bode(1+L))

0.6153
```

- d) Das System ist nur dann asymptotisch stabil, falls die Pole der komplementären Sensitivität negativen Realteil haben. Also ist das geregelte System stabil.

```
%Komplementäre Sensitivität
T = 1-S;
pole(T)

-4.3162 + 8.2707i
```

-4.3162 - 8.2707i
-0.7734
-0.5942

Die nominale Regelgüte sagt nichts über die Stabilität des geschlossenen Regelkreises aus.
Die Stabilität ist zwingend zu überprüfen.